

تهیه و تعیین ساختار بلوری شبه چندریخت جدید $\text{Cu}(\text{hpydc})(\text{DMP}) \cdot 5\text{H}_2\text{O}$ با کانال‌های آب دوست

ژانت سلیمان نژاد^{*}، فائزه مقدمی^۱، هلن استکلی اونز^۲

۱- دانشکده شیمی، پردیس علوم، دانشگاه تهران، تهران

۲- انسٹیتو فیزیک، دانشگاه نیوکاسل، نیوکاسل، سوئیس

(دریافت مقاله: ۹۴/۱۰/۱، نسخه نهایی: ۹۴/۱۱/۱۴)

چکیده: ترکیب $\text{Cu}(\text{hpydc})(\text{DMP}) \cdot 5\text{H}_2\text{O}$ (۲) که H_2hpydc و DMP ، به ترتیب گروههای ۴-هیدروکسی پیریدین-۲، ۶-دیکربوکسیلیک اسید و ۲، ۶-دیمتیل-۱، ۱۰-فنانترولین هستند) از روش انتقال پروتون سنتز و ساختار بلوری آن به روش بلورشناسی با پرتو-X تعیین شد. این ترکیب در سیستم بلوری تکمیل و گروه فضایی $P_{2/c}$ متبلور شده است و پارامترهای سلول واحد آن ($a = ۱۰,۸۴۲۳$ ، $b = ۱۳,۴۴۵۷$ ، $c = ۱۳,۶۴۴۷$) درجه هستند. مقدار R نهایی برای ۴۴۲۵ بازتاب مستقل برابر $۰,۰۴۶$ است. در واحد بی تقارن، یک مولکول کمپلکس مس (II) و پنج مولکول آب هیدراته وجود دارد. اتم مس (II) در ترکیب ۲ دارای هندسه هرم مربعی انحراف یافته است که یک اتم ازت و دو اتم اکسیژن از آنیون ۴-هیدروکسی پیریدین-۲، ۶-دیکربوکسیلات و دو اتم ازت از مولکول ۲، ۶-دیمتیل-۱، ۱۰-فنانترولین در پنج موضع کوئوردیناسیونی قرار دارند. این ترکیب شبه چندریختی ترکیب $\text{Cu}(\text{hpydc})(\text{DMP}) \cdot 3\text{H}_2\text{O}$ (۱)، است که پیش تر گزارش شده است. انباستگی متفاوت ناشی از حضور تعداد متفاوت مولکولهای حلل در ساختار بلوری سبب شد که ترکیب ۲ کانال‌های آب دوست حاوی مولکولهای آب را داشته باشد.

واژه‌های کلیدی: ابرمولکول؛ ترکیب‌های انتقال پروتون؛ چندریخت؛ کانال‌های آب دوست.

است تغییر کند [۳]. چندریختی به عنوان پیدایش ساختارهای بلوری مختلف برای یک واحد شیمیایی تعریف می‌شود [۴]. شبه چندریخت به همان ترکیب که تعداد مولکولهای حلل متفاوت دارد و وارد شدن حلل طی فرایند تبلور، اطلاق می‌شود [۵]. گاهی نیز حاصل تغییر نسبت مولکولهای تشکیل دهنده ابرمولکول است [۶]. چندریختی پیدیده شاخصی در زمینه‌ی شیمی حالت جامد است، زیرا مقایسه‌ی بین چندریختهای مختلف می‌تواند رویکرده ایده‌آل برای شناخت ارتباط خواص حالت جامد و ساختار انباسته مولکولی بر اساس همان نوع مولکول ارایه دهد.

مقدمه

ایزومری ابرمولکولی یکی از مهمترین جنبه‌های شیمی ابرمولکول و مهندسی بلور است که در سال‌های اخیر توجه بسیاری را جلب کرده است [۱]. ایزومری سوپرامولکول‌ها نشان می‌دهد که شکاف انرژی آزاد بین اشکال بلوری مختلف کوچک است و فاکتورهای سینتیکی مسئول رشد و در نتیجه تولید ایزومری ابرمولکولی هستند که در اثر شرایط تبلور کنترل می‌شود [۲]. برای هر ترکیب شیمیایی یک یا چند جزی، راه‌های مختلفی برای انباستگی سه بعدی امکان پذیر است و برای هر ساختار بلوری خاص انرژی پایداری ثابت وجود دارد که انرژی پایداری طی فرآیند بلوری شدن و یا انتقال فاز ممکن

*نویسنده مسئول، تلفن: ۰۲۱۶۶۴۹۵۲۹۱، نامبر: ۰۲۱۶۶۹۷۲۰۷۴، پست الکترونیکی: Janet_Soleimannejad@khayam.ut.ac.ir

کمبریج با کد ۱۴۴۰۷۸۸ CCDC به ثبت رسیده و از طریق www.ccdc.cam.ac.uk/conts/retrieving.html قابل دریافت است.

روش بررسی

محلول آبی شامل ۰۳۸ میلیمول (۰۰۸ گرم) ۲، ۹-دیمتیل-۱، ۱۰-فناترولین و ۰۳۸ میلیمول (۰۰۶ گرم) ۴-هیدروکسی پیریدین-۲، ۶-دی کربوکسیلیک اسید به مدت ۱۵ دقیقه هم زده شد. سپس محلول اتانولی از ۰۳۸ میلیمول CuCl2.2H2O (۰۰۶۴ گرم) به دقت روی محلول آبی لیگاندهای لایه‌گذاری شد. تک بلورهای سبز رنگ مکعبی و مناسب برای بلورشناسی، به روش نفوذ آهسته و پس از یک روز به دست آمدند.

بحث و برداشت

ساختار مولکولی ترکیب ۲ در شکل ۱ نشان داده شده که در آن ترکیب ۲ در سیستم بلوری تک میل با گروه فضایی $P2/c$ متبلور شده و مقدار R نهایی برای ۴۴۲۵ بازتاب مستقل برابر ۰،۰۴۶ است. داده‌های بلورشناسی در جدول ۱ ارایه شده‌اند. در گزارش قبلی ما، ترکیب ۱ گزارش شد که در واحد بی‌تقارن آن دو مولکول مستقل کمپلکس مس(II) و شش مولکول آب هیدراتی وجود داشت. اتم مس در هر دو کمپلکس با هندسه‌ی هرم مربعی انحراف یافته بود و پنج کوئوردیناسیون آن به واسطه یک اتم N و دو اتم O از آنیون ۴-هیدروکسی پیریدین-۶، ۲-دی کربوکسیلات و دو اتم N از مولکول ۲، ۹-دی‌متیل-۱، ۱۰-فناترولین بود. در ترکیب جدید ۲ کمپلکس مس همان ساختار قبلی را داشت با این تفاوت که در هر واحد بی‌تقارن یک مولکول کمپلکس مس(II) و پنج مولکول آب هیدراتی وجود داشتند.

از مقایسه زوایه‌های پیوندی حول اتم مس مشاهده می‌شود که در ترکیب ۲ همانند ترکیب ۱، در زوایه‌های پیوندی حول اتم مس (II) دو زاویه‌ی نزدیک به خط $N(1)Cu(1)N(3)$ برابر $159.78(7)$ درجه و $O(5)Cu(1)O(1)$ برابر $159.79(8)$ درجه و درجه وجود دارد (این زوایه‌ها برای ترکیب ۱ برابر مقدار $168.68(7)$ درجه برای $N(1)Cu(1)N(3)$ و $159.59(6)$ درجه و برای $O(5)Cu(1)O(1)$ است) و بقیه‌ی زوایه‌ها به جز زاویه‌ی $N(1)N(2)Cu(1)$ نزدیک به نود درجه هستند. بنابراین می‌توان گفت که ترکیب ۲ مانند ترکیب ۱ دارای ساختار هرم مربعی انحراف یافته است و اتم N(2) در موقعیت محوری قرار دارد.

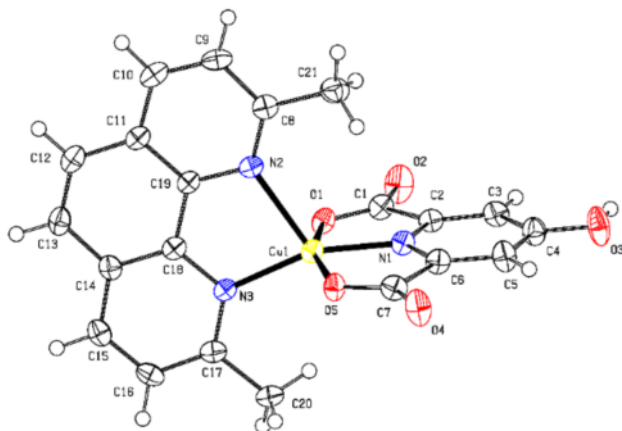
برهم‌کنش‌های بین مولکولی مانند پیوند هیدروژنی، برهم-کنش‌های $\pi-\pi$ و نیز حضور مولکول‌های حلال تاثیر بسزایی بر انباستگی ساختار مولکولی دارند [۷]. از سوی دیگر، انعطاف‌پذیری پیکربندی مولکول در چندrijختی افزایش می‌یابد [۸، ۹]. بنابراین انتخاب دقیق و اصلاح برهم‌کنش‌های ناهم‌ارزی بین مولکولی و طراحی پیکربندی مولکول‌های انعطاف‌پذیر، به یک ابزار بسیار مهم در زمینه‌ی مهندسی بلور تبدیل شده است [۱۰، ۹].

کاتال‌های آب دوست در غشاها زیستی اهمیت بسیاری دارند. این کاتال‌ها مسئول انتقال یون در غشاها یاد شده‌اند. گسترش کاتال‌های آب دوست مصنوعی یک هدف جذاب در غشاها گو گرفته از سیستم‌های زیستی است [۱۱]. در اینجا تهیه ترکیب ابرمولکول $O.[Cu(hpydc)(DMP)].5H_2O$ (۲) گزارش می‌شود. این ترکیب شبیه چندrijخت ترکیب $[Cu(hpydc)(DMP)].3H_2O$ (۱) است که پیشتر تهیه و گزارش شده است [۱۲]. ساختار این دو ترکیب مورد بررسی و مقایسه قرار می‌گیرد. هر دو شبیه چندrijخت ۱ و ۲ ترکیبات انتقال پروتون مس هستند که ترکیبات انتقال پروتون دیگری از مس قبل از سوی گروه ما گزارش شده است [۱۳].

آماده‌سازی و دستگاه‌ها
 همه‌ی مواد استفاده شده در این پژوهش با خلوص تجزیه‌ای از شرکت‌های مرک و فلوكا خریداری شده و بدون خالص سازی بیشتر به کار رفته‌اند. داده‌های پراش پرتو-X تک بلور با بلورنگار مدل SMART (پرتو Molibden) در دمای ۱۵۰ درجه کلوبین جمع‌آوری شده‌اند. ساختار بلور از "روش مستقیم" تعیین و اصلاح نتایج به روش حداقل مربعات کامل ماتریس کامل بر پایه‌ی F^2 با SHELX-97 انجام شد [۱۴]. برای تهیه‌ی تصاویر از نرم افزار مرکوری استفاده شد [۱۵]. در ترکیب ۲ چگالی الکترونی قابل ملاحظه‌ای در حفره‌های ساختار وجود داشتند که به حل واپسی، ولی به واسطه‌ی بی نظمی^۱ بسیار زیاد قابل مدل دهی نبود. بنابراین با استفاده از روش به هم فشردن^۲ مشارکت الکترونی حلal از کل پراش کم و در نهایت به حل پایدار و تعیین ساختار منجر شد. تعداد مولکول‌های آب بر اساس چگالی الکترونی محاسبه شده تعیین شدند که برابر پنج مولکول بوده است [۱۶]. سابقه اطلاعات بلورشناسی (cif) در مرکز داده‌های بلورشناسی

1- Disorder

2- Squeeze



شکل ۱ ساختار مولکولی ترکیب ۲ (مولکول‌های آب برای وضوح بهتر حذف شده‌اند).

جدول ۱ داده‌های بلورشناسی ترکیب (۲)، $[\text{Cu}(\text{hpydc})(\text{DMP})].5\text{H}_2\text{O}$

$C_{21} H_{15} Cu N_3 O_5$	فرمول
۴۵۲.۹۰	وزن مولکولی(g/mol)
تک میل	سیستم بلوری
$P_{2/c}$	گروه فضایی
$a = ۱۰.۸۴۲۲(۴)$	$a (\text{\AA})$
$b = ۱۳.۴۴۵۷(۵)$	$b (\text{\AA})$
$c = ۱۳.۶۴۴۷(۵)$	$c (\text{\AA})$
$\beta = ۹۰.۰۰۴۲$	$(^{\circ})\beta$
۱۹۸۷.۹۴(۱۲)	حجم سلول واحد (\AA^3)
۴	تعداد واحد فرمولی در سلول واحد
۱.۵۷۶	چگالی(mg/cm ³)
۱۵۰	دما (کلوین)
۰.۰۴۶۵	R_I
۰.۱۲۳۳	WR_2
۰.۰۳۶۹	R_{int}
۱.۰۴۰	Goodness-of-fit on F^2
۴۴۲۵	تعداد بازتاب‌های مستقل

که ساختار این ترکیب دارای هندسه هرم مربع القاعده‌ی انحراف یافته است [۱۷].

طول پیوندهای Cu-O(1) و Cu-O(5) در ترکیب ۱ به ترتیب برابر $۲.۰۳۱(1)$ و $۲.۰۲۳(1)$ و در ترکیب ۲ به ترتیب برابر با $۲.۰۲۵(2)$ و $۲.۰۲۶(2)$ آنگستروم است که تقریباً طول هر چهار پیوند مشابه یکدیگر است. طول پیوند Cu-N(1) و Cu-N(3) در ترکیب ۲ به ترتیب برابر $۱.۸۹۰(2)$ ، $۱.۸۹۰(2)$ و $۱.۹۸۴(2)$ آنگستروم و در ترکیب ۱ برابر

پارامتر هندسی $\tau = \frac{\alpha - \beta}{\alpha + \beta}$ که در آن β و α بزرگترین زوایا حول اتم مرکزی هستند برای ساختارهای پنج کوئوردیناسیون به عنوان شاخص برای تعیین ساختار دو هرمی مثلثی و یا هرم مربع القاعده است. مقدار τ برای ساختار دو هرمی مثلثی کامل برابر یک و برای هرم مربع القاعده برابر صفر است و برای مقدادر بین صفر و یک ساختار بین دو هرمی مثلثی و هرم مربع القاعده است. برای ترکیب ۲ مقدار τ برابر 0.00016 است که بسیار نزدیک به صفر بوده و تایید می‌کند

هستند. در این ترکیب، برهمکنش‌های $\pi-\pi$ بین بخش‌هایی از حلقه‌های DMP با فاصله‌های ۳۵۳۲ و ۳۶۸۱ مشاهده می‌شوند (شکل ۲). چنانکه در شکل ۲ مشاهده می‌شود، در ترکیب ۱ یک برهمکنش $\pi-\pi$ با فاصله‌ی ۳۶۶۷ آنگستروم بین حلقه‌های DMP مجاور وجود دارد.

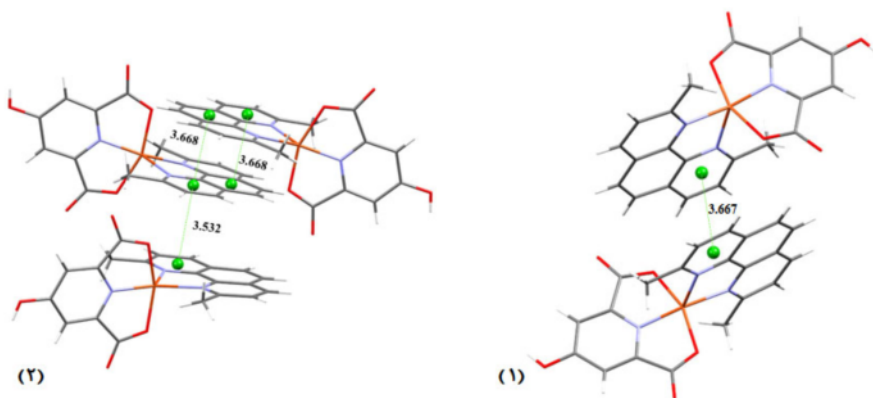
در ترکیب ۱ نیز مشاهده می‌شود که حلقه‌های DMP در خلاف جهت یکدیگر قرار دارند و در ترکیب ۲ حلقه‌های DMP به صورت یک در میان خلاف جهت یکدیگرند. به علاوه چنانکه در ساختار انباسته این دو ترکیب مشاهده می‌شود، جهت گیری حلقه‌های DMP مجاور در ترکیب ۲ (که اندکی نسبت به هم زاویه‌دارند) سبب شده است که گروه‌های hpydc در راستای هم قرار گرفته و فضای خالی برای شکل گیری کانال‌های آب دوست فراهم شود اما در ترکیب ۱ حضور گروه‌های hpydc به گونه‌ای است که مانع از تشکیل کانال شده است (شکل ۳).

آنگستروم است که طول بلندتر پیوند Cu-N(2) می‌تواند در اثر انحراف یان-تلر ایجاد شده باشد. طول پیوندهای C(1)-C(7)-O(4)(5)، C(7)-O(4)(5) و O(1)-O(2) در ترکیب ۲ به ترتیب برابر ۳۶۸۱(۳)، ۲۲۹۱(۳) و ۱۲۳۱(۳) آنگستروم است که به گروه‌های کربوکسیلات لیگاند ۴-هیدروکسیپیریدین-۲، ۶-دیکربوکسیلات از طریق اتمهای O(1) و O(5) به یون مس(II) کوئوردیناسیون شده‌اند، نشان می‌دهد که در اثر کوئوردیناسیون شدن، پیوند C-O تضعیف شده است و اندکی طول آن افزایش یافته است. در جدول ۲ برخی از زاویه‌ها و فاصله‌های پیوند انتخابی آورده شده‌اند.

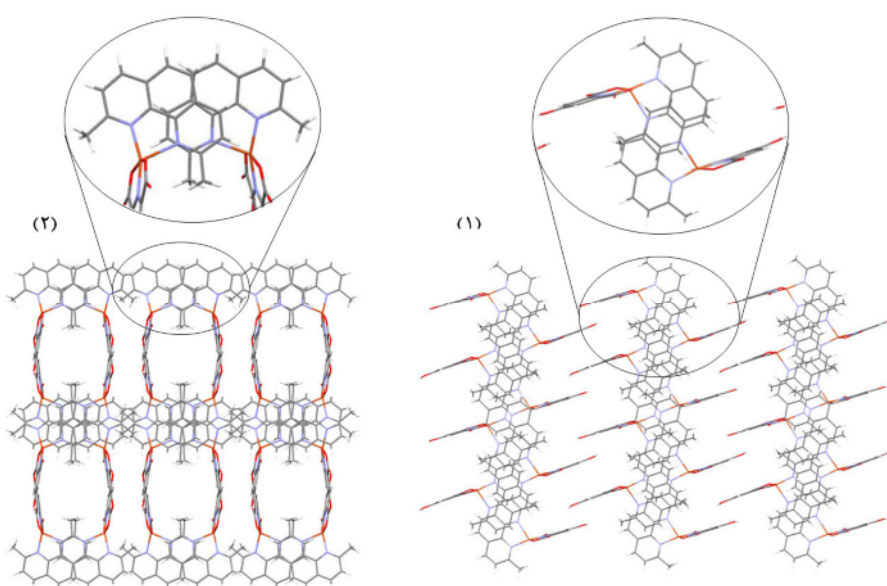
در ترکیب ۲ برهمکنش‌های کوئوردیناسیون شامل پیوندهای هیدروژنی از نوع O-H...O و C-H...O و C-H.. π وجود دارند که به نظر می‌رسد برهمکنش‌های اخیر مسئول شکل‌گیری کانال‌های آب دوست

جدول ۲ پیوندها و زاویه‌های انتخابی (آنگستروم و درجه) ترکیب ۲

طول پیوند (Å)	زاویه پیوند (°)
Cu(1)-N(1)	۱,۸۹۱(۳)
Cu(1)-N(3)	۱,۹۸۴(۳)
Cu(1)-O(1)	۲,۰۲۵(۲)
Cu(1)-O(5)	۲,۰۲۶(۲)
Cu(1)-N(2)	۲,۲۱۲(۳)
O(5)-C(7)	۱,۲۶۸(۳)
O(4)-C(7)	۱,۲۳۱(۳)
O(1)-C(1)	۱,۲۷۱(۳)
O(2)-C(1)	۱,۲۲۹(۳)
O(1)-Cu(1)-O(5)	۱۵۹,۷۸(۹)
N(1)-Cu(1)-N(2)	۱۲۰,۱۹(۱۱)
N(3)-Cu(1)-N(2)	۷۹,۸۸(۱۰)
N(1)-Cu(1)-O(5)	۸۰,۰۱(۱۰)
O(5)-Cu(1)-N(2)	۱۰۲,۴۷(۹)
N(1)-Cu(1)-N(3)	۱۵۹,۷۹(۱۱)
N(1)-Cu(1)-O(1)	۸۰,۵۷(۱۰)
N(3)-Cu(1)-O(1)	۹۷,۴۹(۹)
C(1)-O(1)-Cu(1)	۱۱۴,۶۹(۱۹)



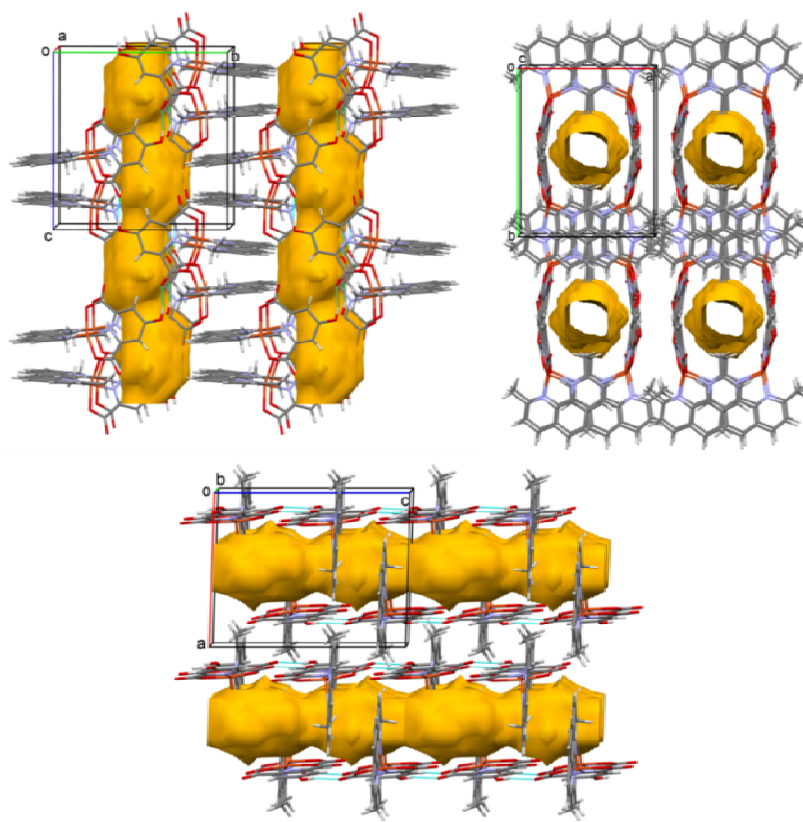
شکل ۲ نمایش تفاوت برهمکنش‌های $\pi-\pi$ در ترکیب‌های ۱ و ۲.



شکل ۳ ساختار انباسته‌ی ترکیب‌های ۱ و ۲.

تشکیل ساختار انباسته‌ی با کانال‌های آب دوست شده است. این کانال‌ها در راستای سه محور بلور نگاری در شکل ۴ نشان داده شده‌اند.

تفاوت در برهم‌کنش‌های کوئوردیناسیون، بین ترکیب‌های ۱ و ۲ و نیز تفاوت در تعداد مولکول‌های حلال سبب شده است که انباستگی این دو چندریخت یکسان مشابه نباشد و منجر به



شکل ۴ نمایش کانال‌های آب دوست در ساختار انباسته‌ی ترکیب ۲ در راستای سه محور بلورشناختی.

برداشت

ترکیب ابرمولکول ۲، $[Cu(hpydc)(DMP)].5H_2O$ از روش انتقال پروتون تهیه و ساختار آن به روش بلورشناسی تعیین شده است. مقایسه ساختار این ترکیب و شبیه چندریخت آن که تنها در تعداد مولکولهای آب متفاوت است، نشان داد که برهمنش‌های نا هم ارزی بین مولکولی و تعداد مولکولهای حلal نقش بسزایی در انباستگی ساختار مولکولی ایفا می‌کنند. به نحوی که ساختار بلوری ترکیب ابرمولکول ۲ دارای کانال‌های آب دوست است. بنابراین می‌توان نتیجه گرفت که انتخاب دقیق و اصلاح برهمنش‌های بین مولکولی، یک ابزار قدرتمند برای طراحی پیکربندی‌های انعطاف‌پذیر و مهندسی بلور است.

مراجع

- Docherty, M. H. Charlton and D. Butter, *J. Chem. Soc., Perkin Trans. 2*, 1999, 677; (c) D. Buttar, M. H. Charlton, R. Docherty and J. Starbuck, *J. Chem. Soc., Perkin Trans. 2*, 1998, 763; (d) R. M. Vrcelj, E. E. A. Shepherd, C. S. Yoon, J. N. Sherwood and A. R. Kennedy, *Cryst. Growth Des.*, 2002, 2, 609.
[9] Desiraju G. R., *Angew. Chem. Int. Ed. Engl.*, 1995, 34, 2311; (b) D. Braga, *Chem. Commun.*, 2003, 2751; (c) G. R. Desiraju and T. Steiner, *The Weak Hydrogen Bond*, Oxford University Press, Oxford, 1999.
[10] Steiner T., *Angew. Chem. Int. Ed.*, 2002, 41, 48.
[11] Yui N., *Supramolecular Design for Biological Applications*, 2002, p320, CRC Press.
[12] Soleimannejad J., Aghabozorg H., Manteghi F., Najafi S., *Acta Cryst.*, 2009, E65, m761.
[13] Soleimannejad J., Aghabozorg H., J. Attar Gharamaleki, *Journal of Crystallography and Mineralogy*, 2011, 19 (2), 35.
[14] Bruker (1998). SMART and SAINT. Bruker AXS Inc., Madison, Wisconsin, USA.
[15] Macrae C. F., Bruno I. J., Chisholm J. A. P. R. Edgington, P. McCabe, E. Pidcock, L. Rodriguez-Monge, R. Taylor J. , van de Streek and P. A. Wood, *J. Appl. Cryst.*, 2008, 41, 466.
[16] Spek L., *Acta Cryst.*, 2015, C71, 9.
A. W. Addison, T. Nageswara Rao, J. Reedijk, J. V. Rijn, G. C. Verschoor, *J. Chem. Soc. Dalton Trans.*, 1984, 1349.
[17] A. W. Addison, T. Nageswara Rao, J. Reedijk, J. V. Rijn, G. C. Verschoor, *J. Chem. Soc. Dalton Trans.*, 1984, 1349.

- [1] Zhang J. P., Lin Y. Y., Huang X. C., Chen X.-M., *J. Am. Chem. Soc.*, 2005, 127, 5495.
[2] Masaoka S., Tanaka D., Nakanishi Y., Kitagawa S., *Angew. Chem., Int. Ed.*, 2004, 43, 2530.
[3] Blagden N., Davey R. J., *Cryst. Growth Des.*, 2003, 3, 873.
[4] Herbstein F. H., *Cryst. Growth Des.*, 2004, 4, 1419.
[5] (a) T. L. Threlfall, *Analyst*, 1995, 120, 2435; (b) C. Bilton, J. A. K. Howard, N. N. L. Madhavi, A. Nangia, G. R. Desiraju, F. H. Allen and C. C. Wilson, *Chem. Commun.*, 1999, 1675.
[6] Soleimannejad J., Esfandiar Nazarnia and H. Stoeckly-Evans, *J. Mol. Struc.*, 2014, 1076, 620.
[7] Zhang H. Y., Zhang Z. L., Ye K. Q., Zhang J. Y., Wang Y., *Adv. Mater.*, 2006, 18, 2369.
[8] (a) Kumar V. S. S., Pigge F. C., Rath N. P., *Chem. Commun.*, 2003, 1554; (b) J. Starbuck, R.